



EXPLORADOR SOLAR

Reporte Generación Eléctrica Fotovoltaica



fcfm

Geofísica

FACULTAD DE CIENCIAS
FÍSICAS Y MATEMÁTICAS
UNIVERSIDAD DE CHILE



Ministerio de
Energía

Gobierno de Chile

Reporte

Generación fotovoltaica y datos meteorológicos

05/01/2025

1 Introducción

En este reporte se presenta información sobre el recurso solar basada en la modelación numérica de la transferencia de radiación solar en la atmósfera y en datos satelitales de alta resolución. El producto obtenido ha sido validado con observaciones, sin embargo, no debe ser considerado como definitivo antes de ser corroborado con mediciones in situ.

El modelo utilizado para la transferencia radiativa en cielo despejado es el modelo CLIRAD-SW, el cual considera las interacciones de la radiación con la atmósfera por bandas espectrales de manera independiente. El modelo utiliza datos de temperatura, humedad y aerosoles de reanálisis meteorológicos y datos climatológicos de CO_2 , CH_4 y O_3 .

La información para la nubosidad que se ha utilizado proviene de los satélites GOES-EAST para los años 2004 a 2016. Con esta base de datos se ha identificado la nubosidad y sus características radiativas, y a través de un modelo empírico se ha modificado el resultado obtenido para una atmósfera con cielo despejado para adaptarlo a una condición de cielo nublado.

A continuación encontrará los resultados del cálculo de la generación del sistema fotovoltaico evaluado, de acuerdo a los parámetros ingresados, el impacto de la radiación incidente y las condiciones meteorológicas en el sitio de interés. Además se muestra información sobre la radiación (global, directa y difusa) incidente en el panel de acuerdo a las características del arreglo fotovoltaico escogido, la radiación incidente en un plano horizontal y los promedios de la nubosidad, temperatura y la velocidad del viento en el sitio seleccionado.

2 Sitio

En esta sección se muestran las características topográficas del sitio escogido por el usuario.

Tabla 1: Ubicación del sitio seleccionado

Nombre	Mi Sitio
Latitud	28.559 °S
Longitud	70.9509 °O
Elevación	329 m

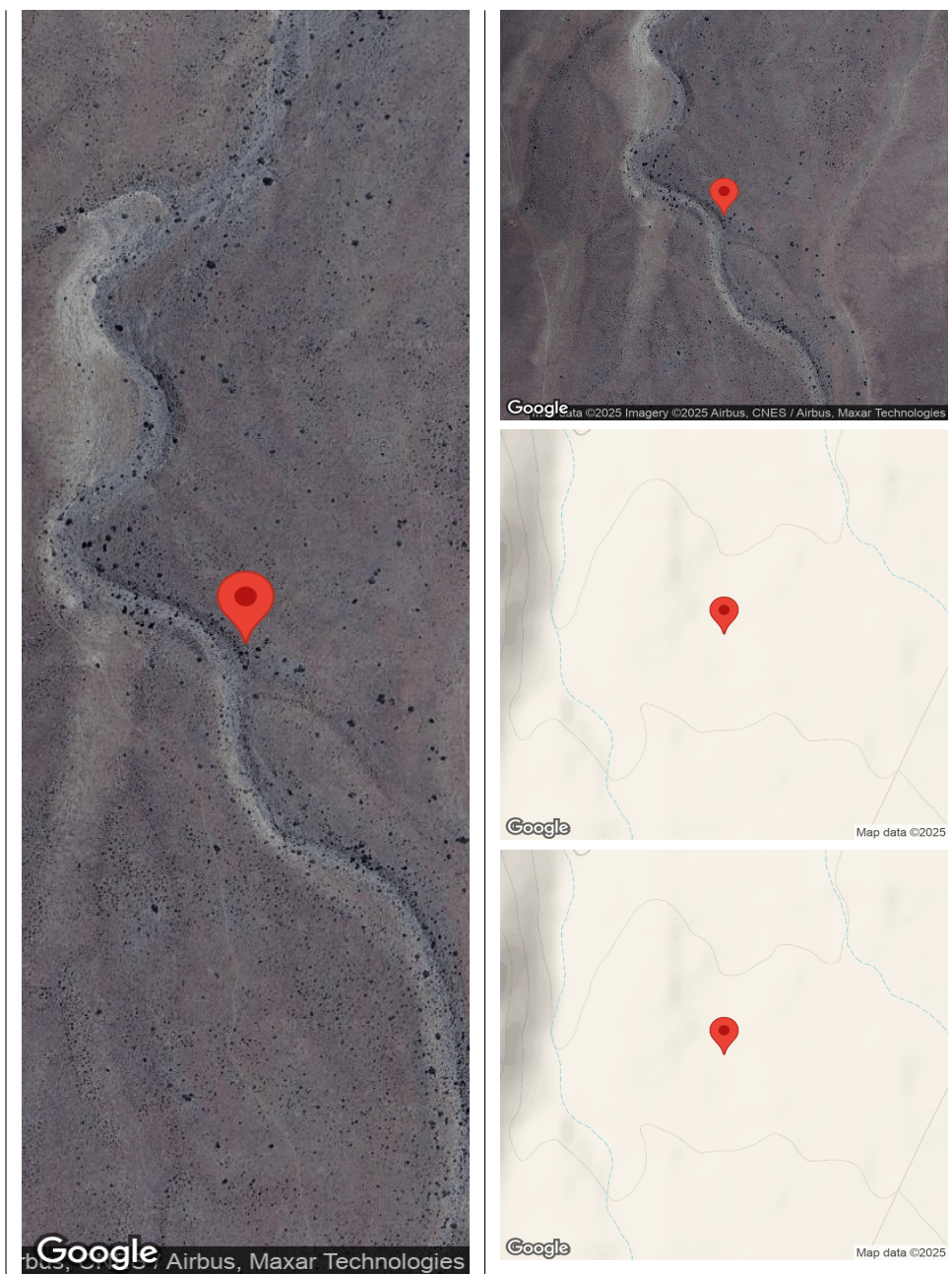


Figura 1: Mapas del sitio seleccionado

2.1 Sombras topográficas

Se ha utilizado una base de datos de altura del terreno de 90 [m] de resolución y se ha considerado la topografía dentro de un radio de 180 [km] desde el sitio seleccionado para obtener las sombras proyectadas por los obstáculos topográficos en el entorno del sitio. Este análisis NO considera el impacto de otro tipo de obstáculos como por ejemplo edificios, árboles, cables, etc.

Tabla 2: Frecuencia de sombras.

Mes	Ene	Feb	Mar	Abr	May	Jun	Jul	Ago	Sep	Oct	Nov	Dic
%	45.83	49.89	54.17	58.24	58.33	58.33	58.33	58.33	55.47	50.0	50.0	47.09

(a) Porcentaje de tiempo con sombras cada mes en horario diurno.

Hora	00	01	02	03	04	05	06	07	08	09	10	11
%	100.0	100.0	100.0	100.0	100.0	100.0	100.0	56.24	0.0	0.0	0.0	0.0

Hora	12	13	14	15	16	17	18	19	20	21	22	23
%	0.0	0.0	0.0	0.0	0.0	0.0	47.74	84.4	100.0	100.0	100.0	100.0

(b) Porcentaje del año con sombras en cada hora.

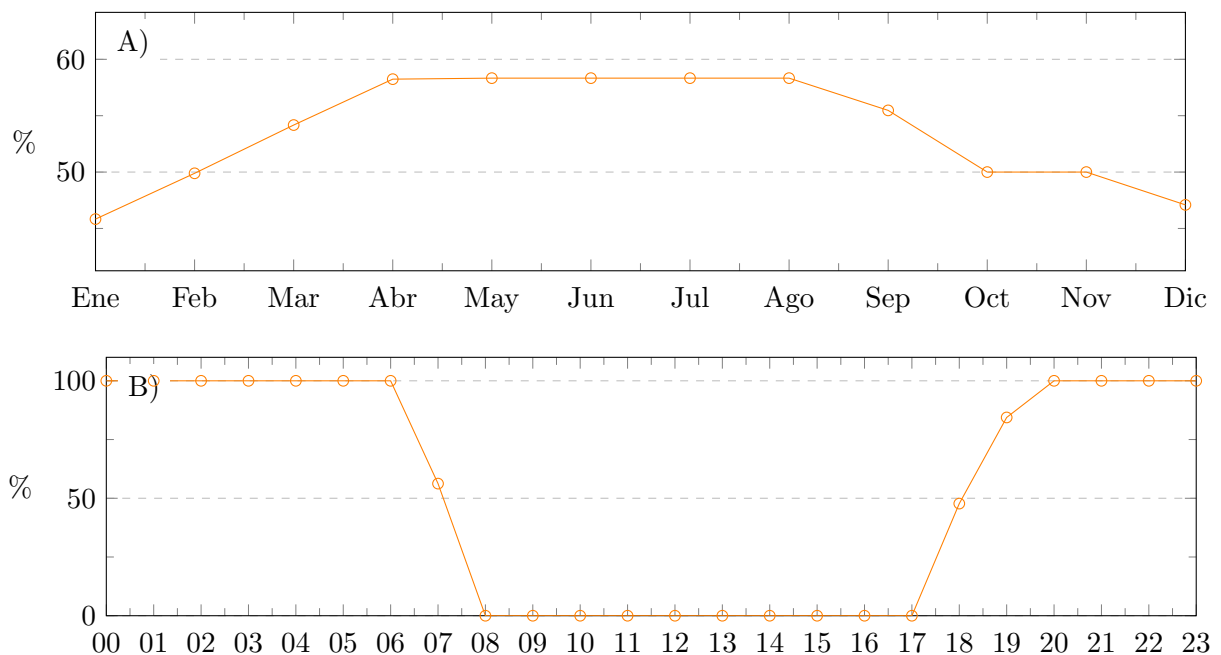


Figura 2: A) Ciclo anual de frecuencia de sombras, B) Ciclo diario de frecuencia de sombras.

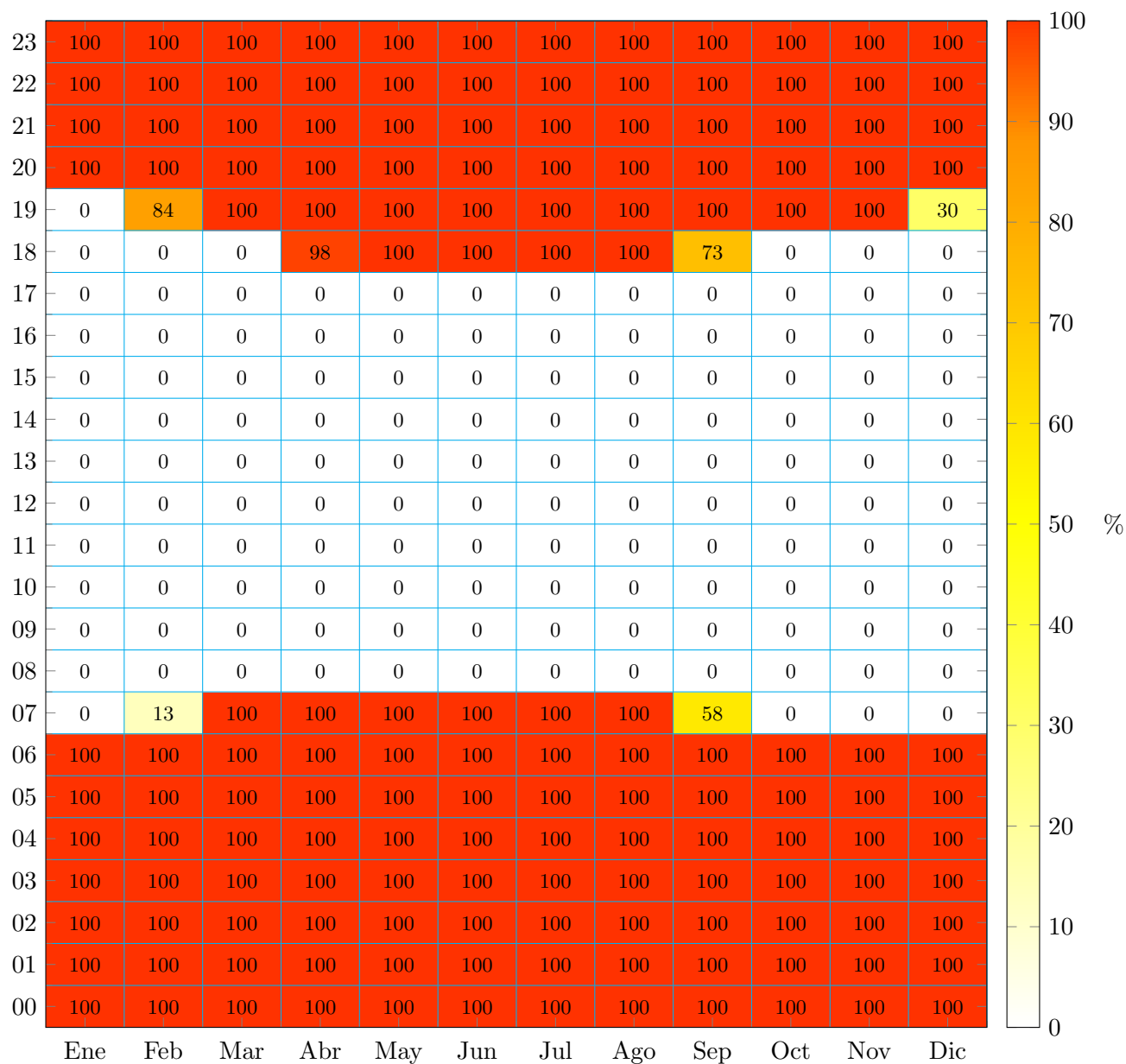


Figura 3: Porcentaje de la hora con sombras durante cada mes.

3 Generación Fotovoltaica

3.1 Características del arreglo fotovoltaico

Las características del sistema ingresadas por el usuario para la simulación de la generación fotovoltaica y los resultados se presentan en esta sección.

Tabla 3: Características del sistema fotovoltaico

Configuración	HSAT
Montaje	open rack cell glassback
Inclinación	0°
Azimut	0°
Coef. Temperatura	-0.45 %/°C
Ef. Inversor	96.0 %
Pérdidas	14 %

3.2 Resultados de la generación eléctrica fotovoltaica

Tabla 4: Resultados de la generación fotovoltaica

Capacidad Instalada	70000 kW
Total Diario	414.14 MWh
Total Anual	151.16 GWh
Factor de Planta	25.0 %

Tabla 5: Ciclo anual de la generación fotovoltaica.

Mes	Ene	Feb	Mar	Abr	May	Jun	Jul	Ago	Sep	Oct	Nov	Dic
<i>GWh</i>	17.85	14.92	14.03	10.05	8.16	7.34	8.2	9.72	12.03	15.25	15.89	17.74

(a) Promedio de la generación total en cada mes.

Tabla 6: Ciclo diario de la generación fotovoltaica.

Hora	00	01	02	03	04	05	06	07	08	09	10	11
MWh	0.0	0.0	0.0	0.0	0.0	0.0	0.02	8.28	22.27	30.1	34.85	39.12
Hora	12	13	14	15	16	17	18	19	20	21	22	23
MWh	41.61	42.72	43.26	43.83	43.27	39.66	20.59	4.58	0.0	0.0	0.0	0.0

(a) Promedio de la generación para cada hora.

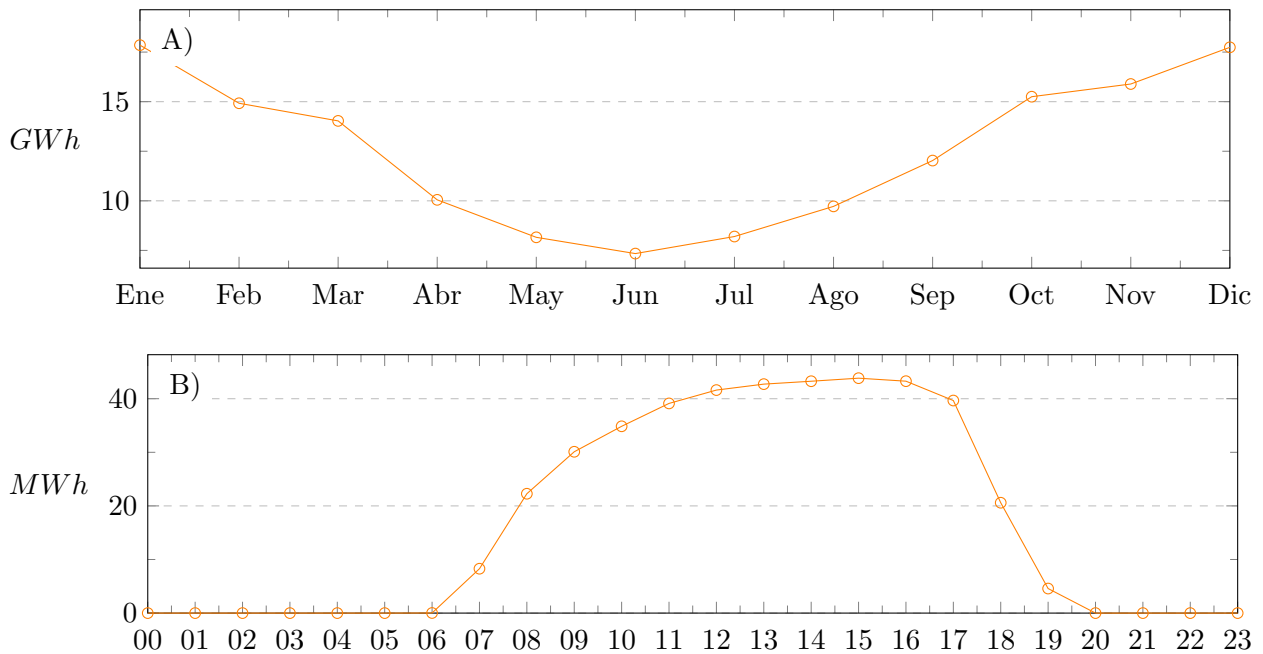


Figura 4: A) Ciclo anual de generación, B) Ciclo diario de generación

Tabla 7: Total anual de la generación para cada año en la base de datos.

Año	2004	2005	2006	2007	2008	2009	2010	2011	2012	2013	2014	2015	2016
GWh	152.7	150.3	151.51	152.96	153.95	151.12	153.5	151.81	156.24	152.44	152.63	141.89	143.93

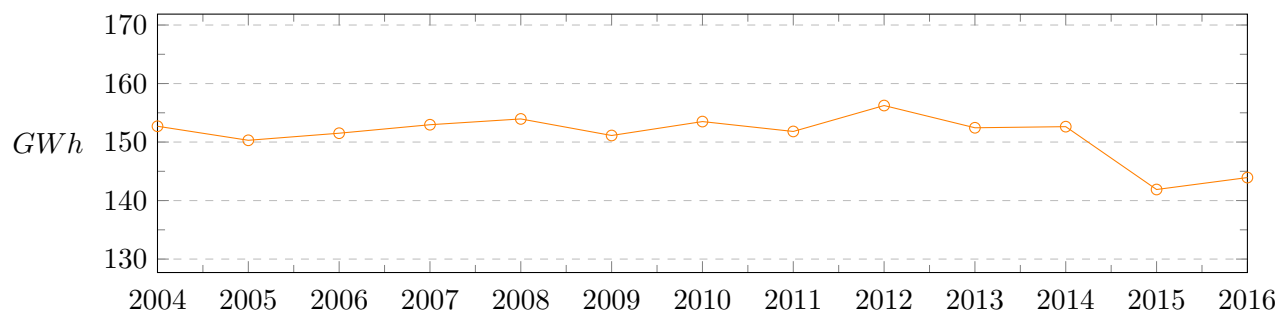


Figura 5: Variación interanual de la generación fotovoltaica.

3.3 Radiación

Las siguientes tablas y gráficos muestran los promedios de la radiación global, directa y difusa incidente sobre un plano horizontal y sobre un plano orientado hacia el norte, con una inclinación igual a la latitud del sitio.

3.3.1 Insolación mensual

Tabla 8: Promedio mensual de la insolación diaria en unidades de $[kWh/m^2/día]$.

Mes	Ene	Feb	Mar	Abr	May	Jun	Jul	Ago	Sep	Oct	Nov	Dic
Directa	7.82	7.29	5.98	4.19	2.92	2.61	2.94	3.73	5.06	6.29	7.25	7.94
Difusa	0.97	0.81	0.76	0.77	0.72	0.63	0.62	0.74	0.88	1.05	1.07	0.98
Global	8.79	8.1	6.74	4.96	3.64	3.24	3.56	4.47	5.94	7.34	8.32	8.92

(a) Radiación incidente en el plano horizontal

Mes	Ene	Feb	Mar	Abr	May	Jun	Jul	Ago	Sep	Oct	Nov	Dic
Directa	6.76	7.02	6.66	5.43	4.39	4.24	4.58	5.1	5.93	6.36	6.51	6.7
Difusa	0.91	0.76	0.71	0.72	0.67	0.59	0.58	0.7	0.82	0.98	1.0	0.91
Suelo	0.13	0.12	0.1	0.07	0.05	0.05	0.05	0.07	0.09	0.11	0.13	0.13
Global	7.8	7.9	7.47	6.22	5.11	4.88	5.21	5.87	6.84	7.45	7.64	7.74

(b) Radiación incidente en un plano con inclinación igual a la latitud del sitio.

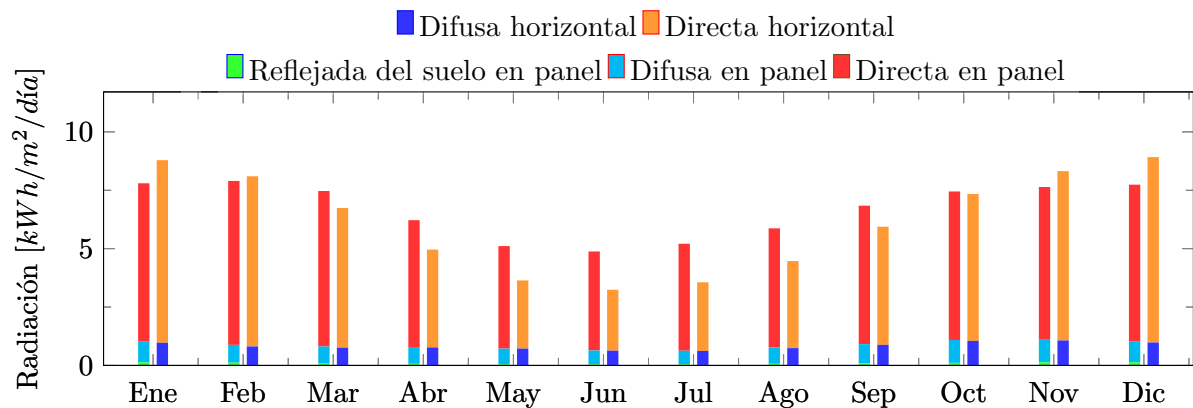


Figura 6: Promedio mensual de la insolación diaria incidente en un plano horizontal y en un plano inclinado, separada en sus componentes directa, difusa y reflejada del suelo.

3.3.2 Ciclo diario de radiación

Tabla 9: Promedio horario de la radiación incidente en unidades de $[W/m^2]$.

Hora	00	01	02	03	04	05	06	07	08	09	10	11
Directa	0.0	0.0	0.0	0.0	0.0	0.0	0.0	32.09	131.14	281.65	445.55	604.78
Difusa	0.0	0.0	0.0	0.0	0.0	0.0	1.58	17.44	46.87	76.47	94.73	112.03
Global	0.0	0.0	0.0	0.0	0.0	0.0	1.58	49.53	178.01	358.12	540.28	716.81

Hora	12	13	14	15	16	17	18	19	20	21	22	23
Directa	732.34	784.39	740.09	645.64	494.63	306.25	111.88	13.03	0.0	0.0	0.0	0.0
Difusa	102.57	87.63	85.92	72.32	58.91	45.09	24.15	7.02	0.0	0.0	0.0	0.0
Global	834.91	872.02	826.01	717.96	553.54	351.34	136.03	20.05	0.0	0.0	0.0	0.0

(a) Radiación incidente en el plano horizontal.

Hora	00	01	02	03	04	05	06	07	08	09	10	11
Directa	0.0	0.0	0.0	0.0	0.0	0.0	0.0	11.61	131.39	304.15	487.14	669.15
Difusa	0.0	0.0	0.0	0.0	0.0	0.0	1.48	16.35	43.93	71.67	88.79	105.0
Suelo	0.0	0.0	0.0	0.0	0.0	0.0	0.02	0.75	2.68	5.39	8.13	10.78
Global	0.0	0.0	0.0	0.0	0.0	0.0	1.5	28.71	178.0	381.21	584.06	784.93

Hora	12	13	14	15	16	17	18	19	20	21	22	23
Directa	816.69	878.4	828.43	721.26	548.37	331.34	72.75	0.0	0.0	0.0	0.0	0.0
Difusa	96.14	82.13	80.53	67.78	55.22	42.26	22.63	6.58	0.0	0.0	0.0	0.0
Suelo	12.56	13.12	12.43	10.8	8.33	5.29	2.05	0.3	0.0	0.0	0.0	0.0
Global	925.39	973.65	921.39	799.84	611.92	378.89	97.43	6.88	0.0	0.0	0.0	0.0

(b) Radiación incidente en un plano con inclinación igual a la latitud del sitio.

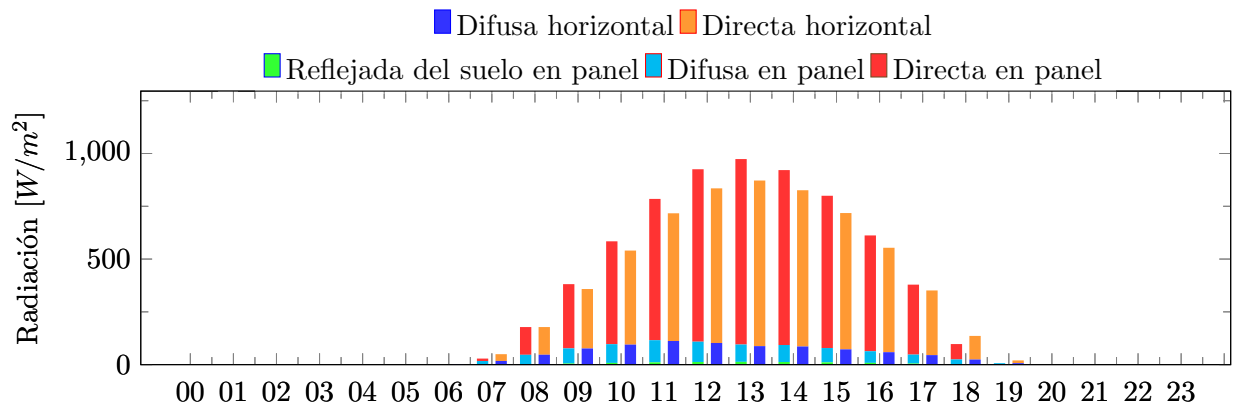


Figura 7: Promedio horario de la radiación global instantánea incidente en un plano horizontal y en un plano inclinado, separada en sus componentes directa, difusa y reflejada en el suelo.

3.3.3 Variabilidad año a año

Tabla 10: Promedio anual de la insolación diaria en unidades de $[kWh/m^2/día]$.

Año	2004	2005	2006	2007	2008	2009	2010	2011	2012	2013	2014	2015	2016
Directa	5.35	5.23	5.34	5.34	5.46	5.38	5.52	5.38	5.52	5.36	5.41	4.89	5.03
Difusa	0.85	0.89	0.82	0.84	0.77	0.77	0.76	0.78	0.79	0.84	0.8	1.01	0.91
Global	6.2	6.12	6.16	6.18	6.23	6.15	6.28	6.16	6.31	6.2	6.21	5.9	5.94

(a) Radiación incidente en el plano horizontal.

Año	2004	2005	2006	2007	2008	2009	2010	2011	2012	2013	2014	2015	2016
Directa	5.85	5.68	5.81	5.82	5.91	5.83	6.06	5.85	6.03	5.9	5.92	5.32	5.43
Difusa	0.8	0.83	0.77	0.78	0.72	0.72	0.71	0.73	0.74	0.79	0.75	0.95	0.85
Suelo	0.09	0.09	0.09	0.09	0.09	0.09	0.09	0.09	0.09	0.09	0.09	0.09	0.09
Global	6.74	6.6	6.67	6.69	6.72	6.64	6.86	6.67	6.86	6.78	6.76	6.36	6.37

(b) Radiación incidente en un plano con inclinación igual a la latitud del sitio.

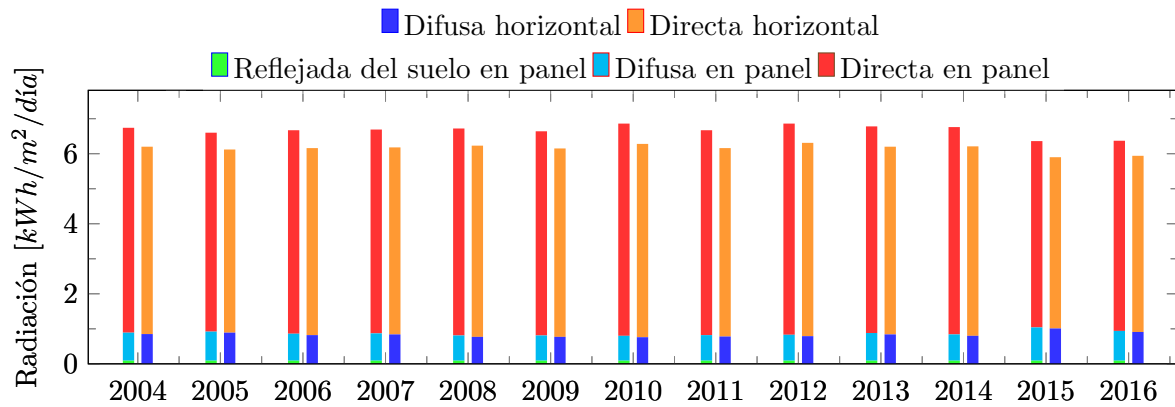


Figura 8: Promedio anual de la insolación diaria incidente en un plano horizontal y en un plano inclinado para cada año de simulación.

3.3.4 Ciclo diario-anual

Los siguientes gráficos muestran el ciclo diario y el ciclo anual de la radiación solar incidente. El eje horizontal indica la hora del día (UTC-4) y el eje vertical indica el mes del año. La escala de colores indica el valor medio de la radiación instantánea incidente en el panel en $[W/m^2]$ para cada hora y mes.

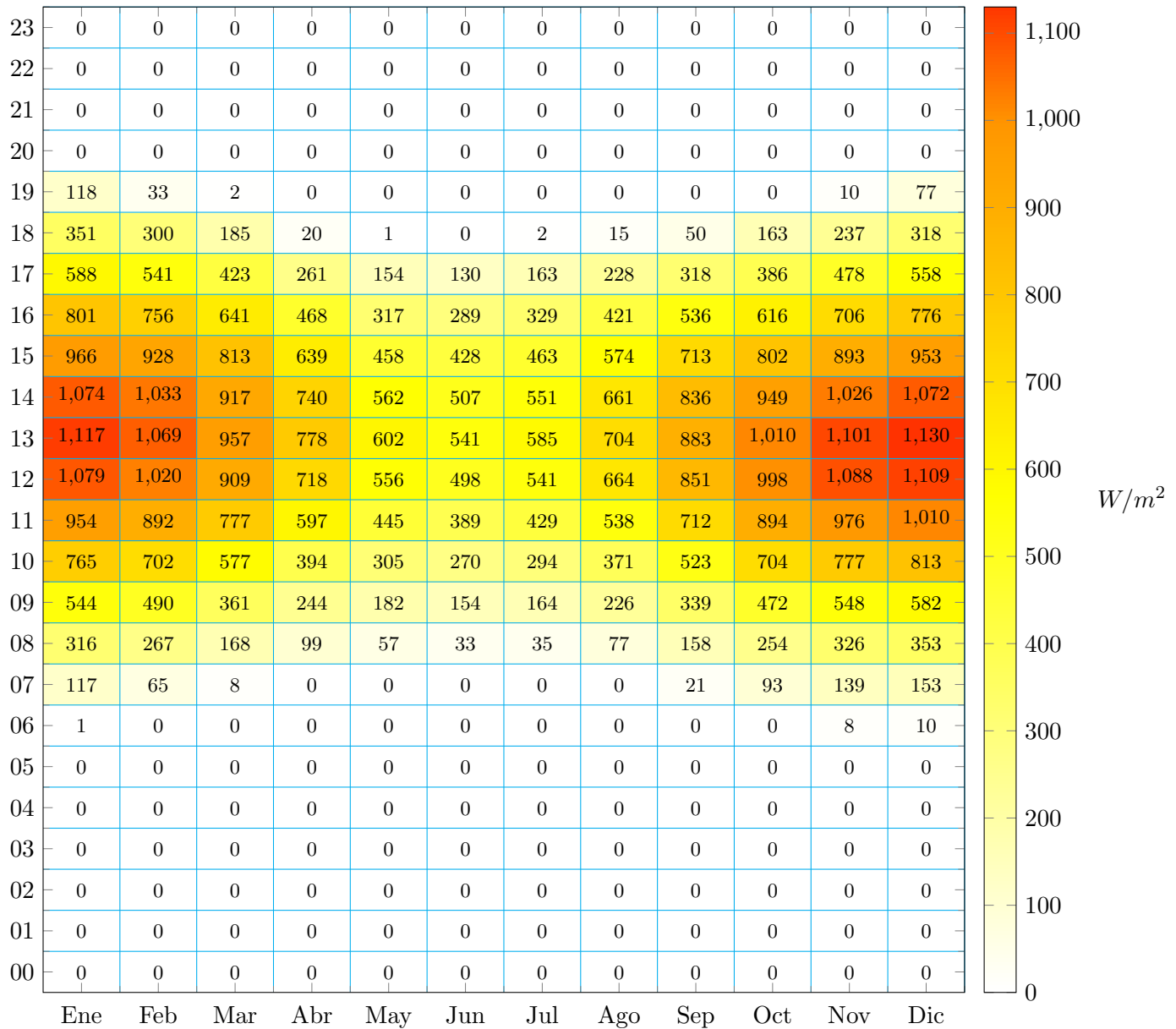


Figura 9: Promedio de la radiación global horizontal para cada hora y mes.

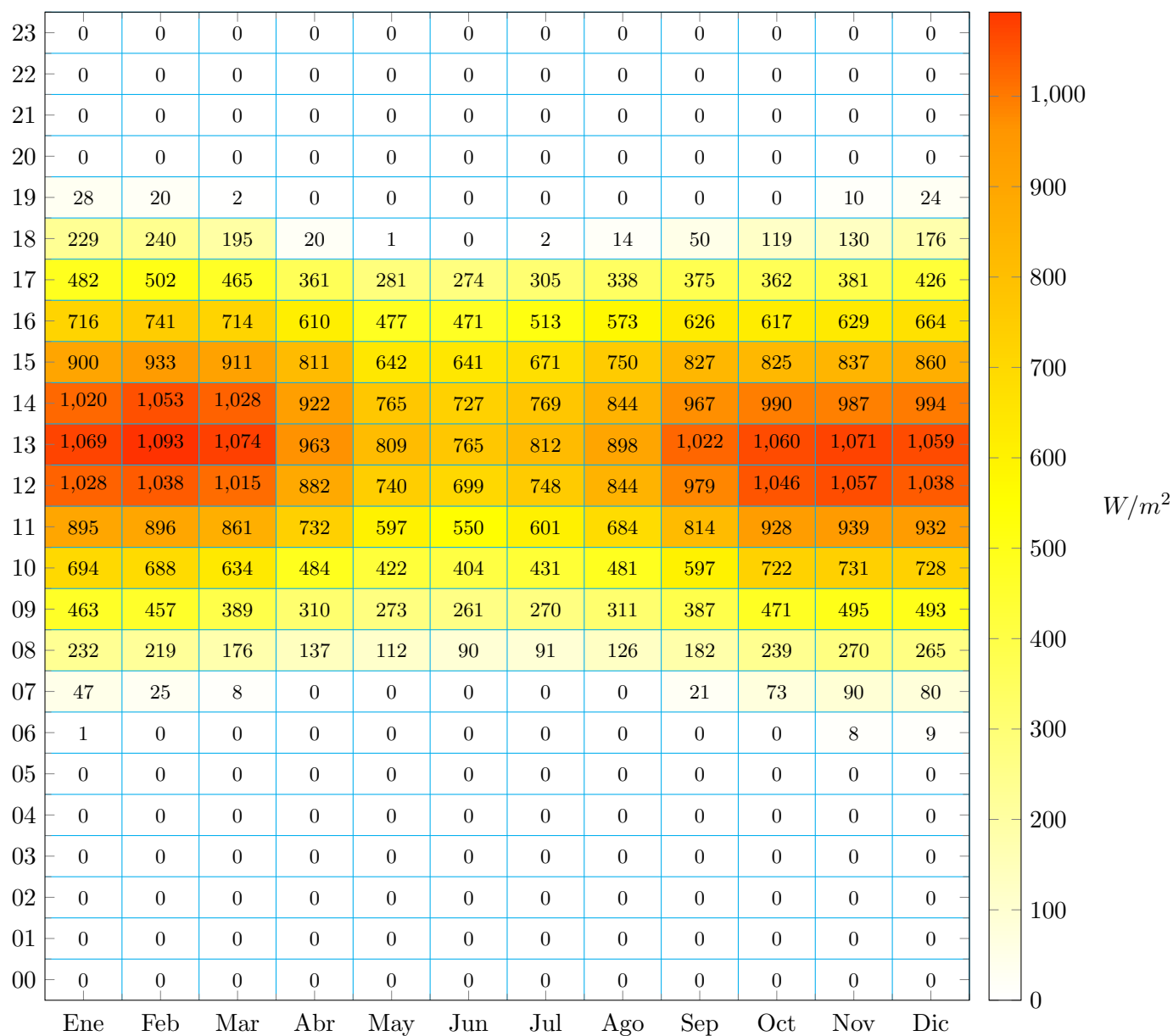


Figura 10: Promedio de la radiación global incidente en un plano con inclinación igual a la latitud del sitio, para cada hora y mes.

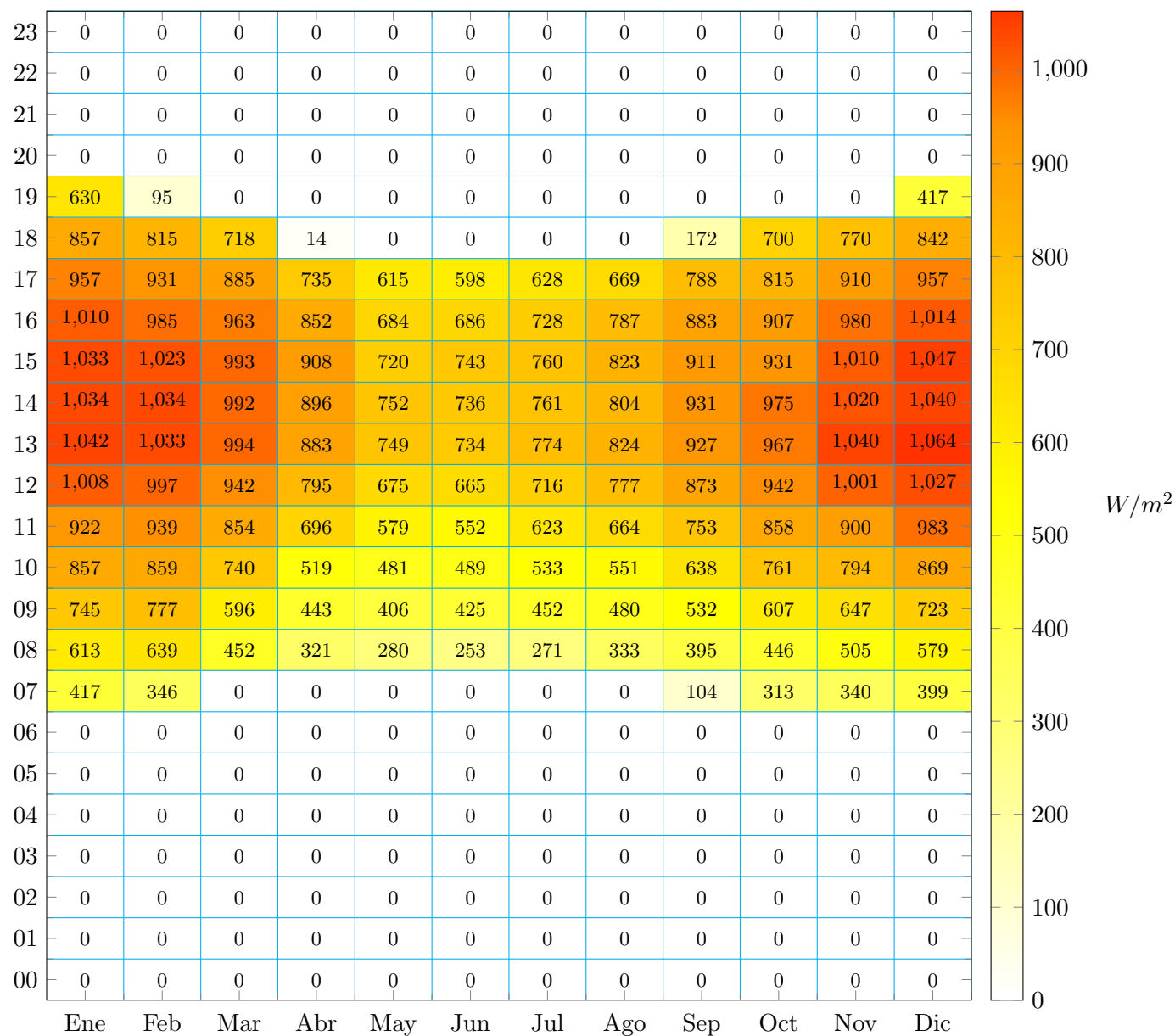


Figura 11: Promedio de la radiación directa normal para cada hora y mes.

3.4 Nubosidad

La nubosidad es la componente atmosférica que remueve mayor cantidad de radiación incidente. A partir de imágenes del satélite geostacionado GOES, se ha calculado la frecuencia de nubosidad para cada hora y mes. Debido a que para la mayor parte del país se utilizan las imágenes del canal visible en la detección de nubosidad, el dato solo está disponible para las horas diurnas.

Tabla 11: Frecuencia de la nubosidad diurna.

Mes	Ene	Feb	Mar	Abr	May	Jun	Jul	Ago	Sep	Oct	Nov	Dic
%	7.19	5.6	8.46	11.25	13.92	12.87	11.96	11.96	11.69	11.18	11.91	9.14

(a) Porcentaje del mes con nubosidad diurna

Hora	00	01	02	03	04	05	06	07	08	09	10	11
%	0.0	0.0	0.0	0.0	0.0	0.0	10.35	28.65	44.77	39.52	33.03	25.13

Hora	12	13	14	15	16	17	18	19	20	21	22	23
%	17.26	12.35	11.99	10.41	9.68	8.43	3.25	0.0	0.0	0.0	0.0	0.0

(b) Porcentaje de la hora con nubosidad. Los ceros corresponden a horas donde no hay datos de nubosidad.

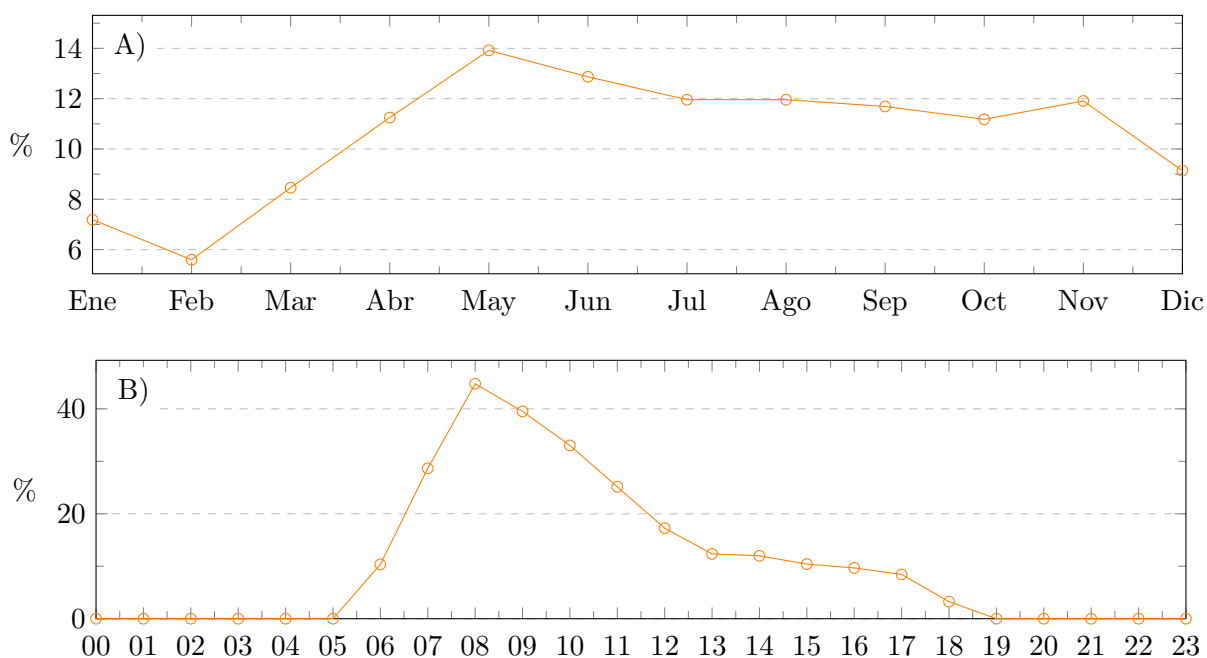


Figura 12: A) Ciclo anual de frecuencia de nubosidad diurna, B) Ciclo diario de frecuencia de nubosidad.

Tabla 12: Variación interanual del porcentaje de nubosidad.

Año	2004	2005	2006	2007	2008	2009	2010	2011	2012	2013	2014	2015	2016
%	10.45	11.39	10.55	10.35	9.66	10.48	9.2	10.18	8.87	10.17	9.97	13.8	12.98

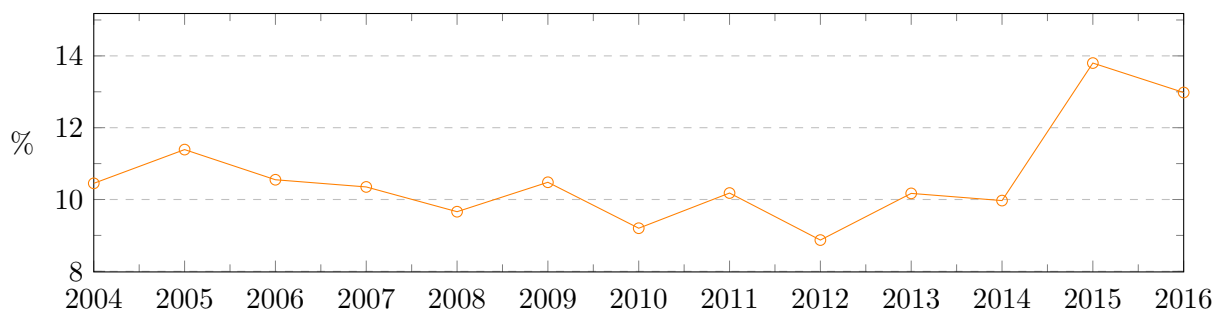


Figura 13: Variación interanual del porcentaje de nubes.

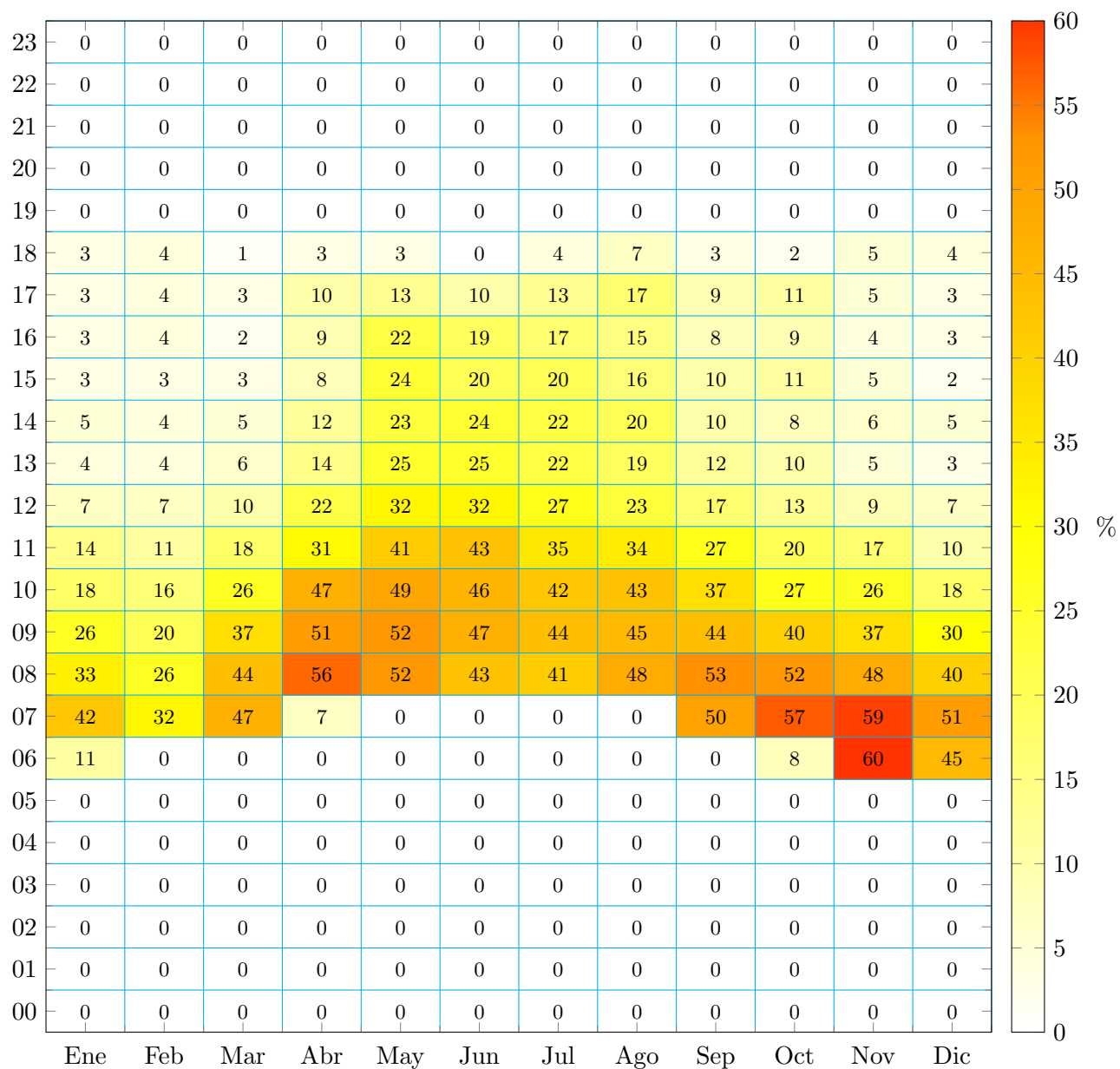


Figura 14: Porcentaje de tiempo con nubes para cada hora y mes.

3.5 Temperatura

La temperatura ambiental afecta la eficiencia de las celdas fotovoltaicas. Las estimaciones de temperatura que se muestran en este capítulo están basadas en los resultados del Explorador Eólico, los cuales se basan en las simulaciones hechas con el modelo meteorológico WRF a 1[km] de resolución para el año 2010.

Tabla 13: Temperatura media.

Mes	Ene	Feb	Mar	Abr	May	Jun	Jul	Ago	Sep	Oct	Nov	Dic
°C	18.91	19.05	17.48	15.02	13.27	11.84	11.48	12.09	13.37	14.38	15.61	17.32

(a) Temperatura promedio mensual.

Hora	00	01	02	03	04	05	06	07	08	09	10	11
°C	12.58	12.2	11.8	11.36	10.98	10.61	10.28	10.59	11.91	14.02	16.36	18.32

Hora	12	13	14	15	16	17	18	19	20	21	22	23
°C	19.73	20.58	20.9	20.7	20.03	18.85	17.16	15.61	14.54	13.86	13.32	12.92

(b) Temperatura promedio para cada hora.

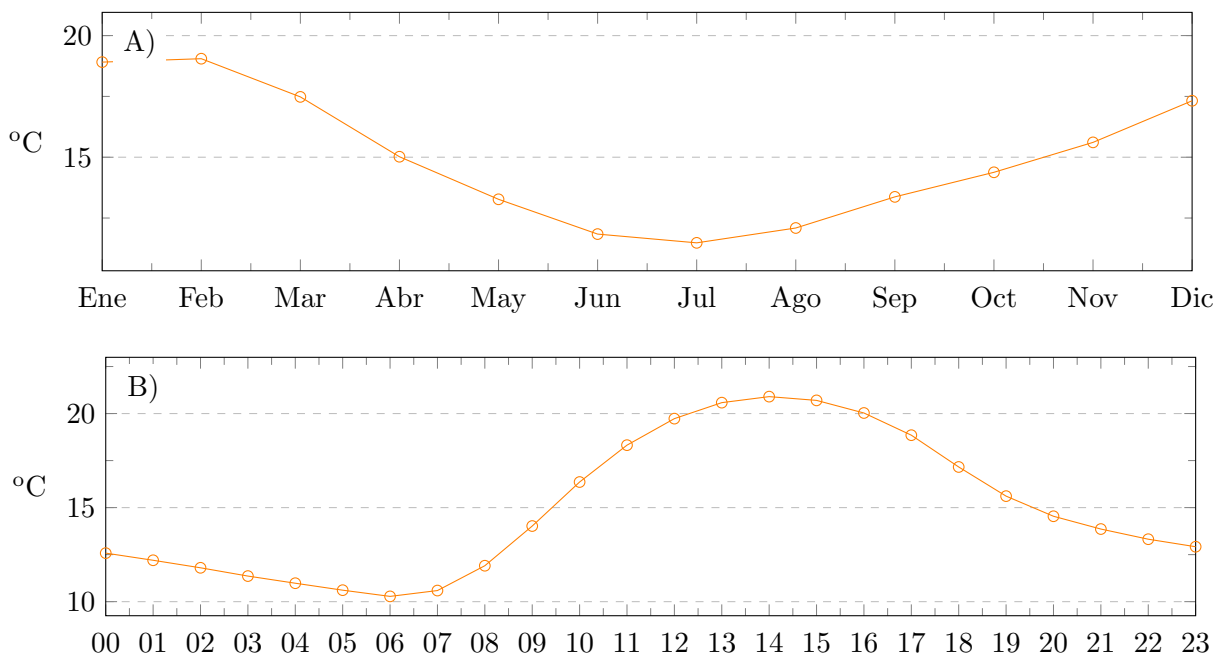


Figura 15: A) Ciclo diario de la temperatura media, B) Ciclo anual de la temperatura media.

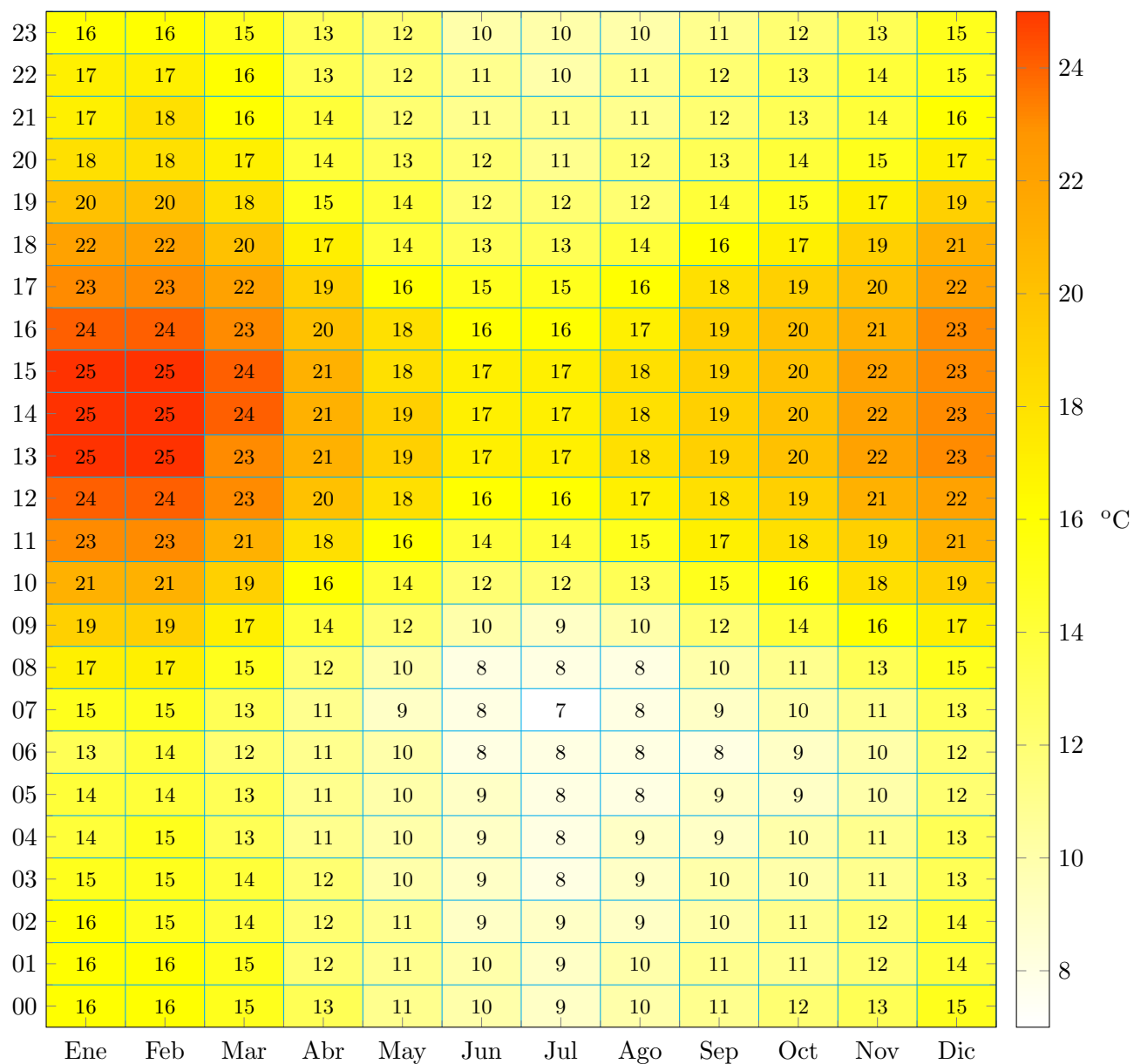


Figura 16: Promedio de la temperatura para cada mes y hora.

3.6 Viento

La velocidad del viento interviene en el enfriamiento de las celdas fotovoltaicas, y por lo tanto en su eficiencia, además puede afectar la integridad del montaje de los paneles. Las estimaciones de viento aquí presentadas corresponden a los resultados del Explorador Eólico para una altura de 5.5 metros, calculados con el modelo WRF a 1 [km] de resolución para el año 2010.

Tabla 14: Velocidad del viento a 5,5[m].

Mes	Ene	Feb	Mar	Abr	May	Jun	Jul	Ago	Sep	Oct	Nov	Dic
<i>m/s</i>	2.96	2.92	2.58	2.34	1.97	1.71	1.85	2.1	2.54	2.82	2.85	2.99

(a) Promedio mensual de la magnitud del viento.

Hora	00	01	02	03	04	05	06	07	08	09	10	11
<i>m/s</i>	1.06	1.09	1.03	1.0	0.96	0.95	0.98	1.01	1.05	1.15	1.78	2.97

Hora	12	13	14	15	16	17	18	19	20	21	22	23
<i>m/s</i>	4.32	5.39	6.03	6.29	6.05	5.33	4.0	2.58	1.34	0.95	0.92	0.99

(b) Promedio de la magnitud del viento para cada hora.

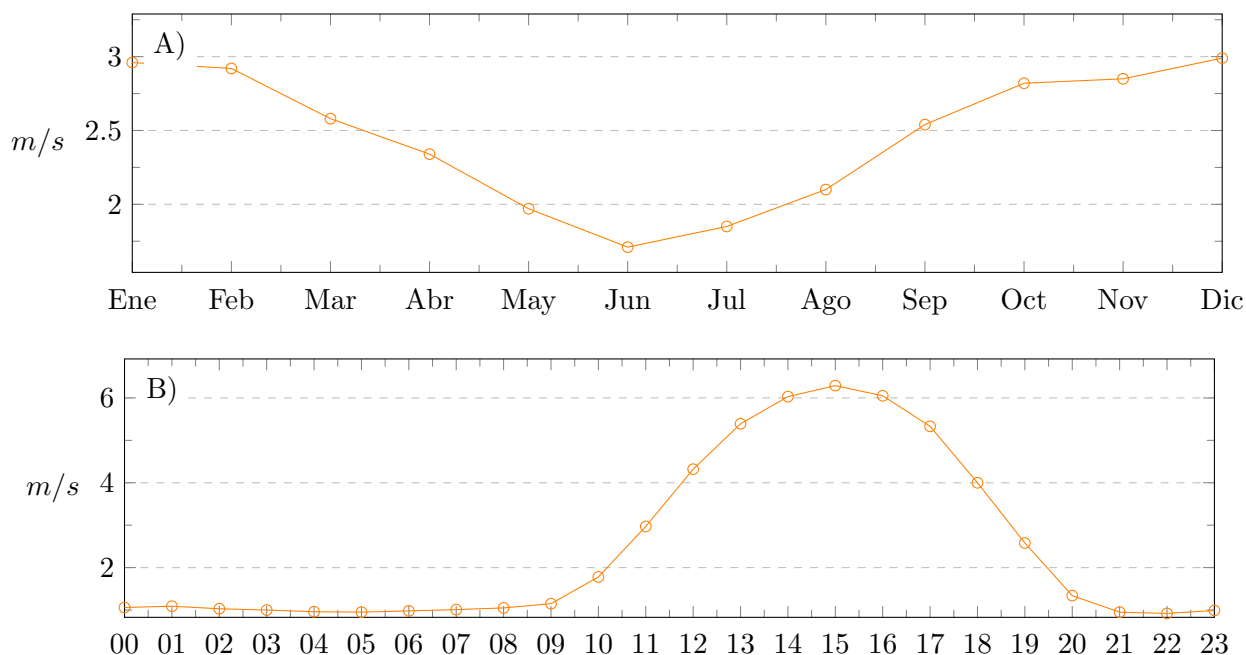


Figura 17: A) Ciclo diario de la magnitud del viento, B) Ciclo anual de la magnitud del viento.

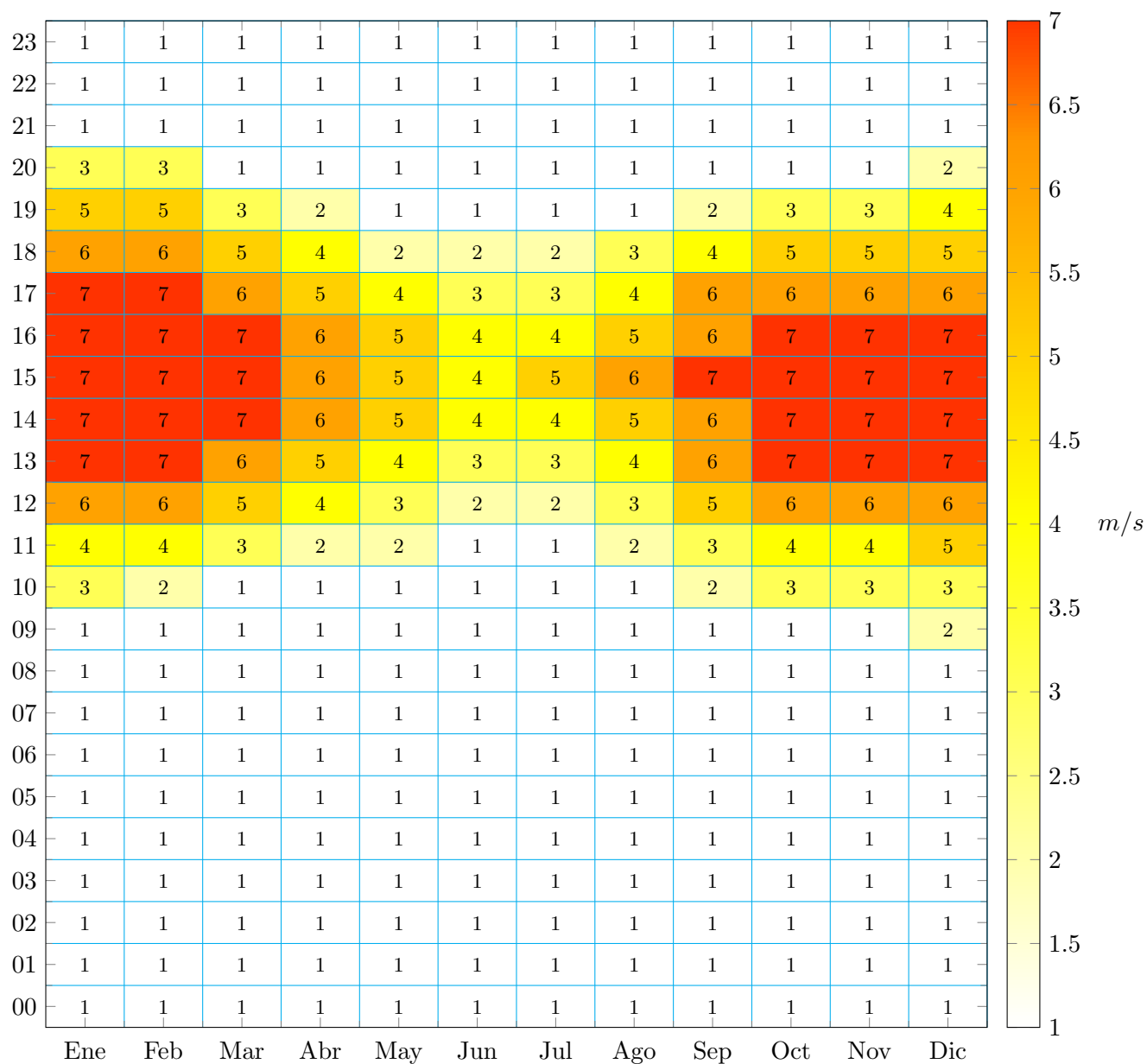


Figura 18: Promedio de la magnitud del viento para cada mes y hora.